

Applications of Radar remote sensing



Mehrez Zribi

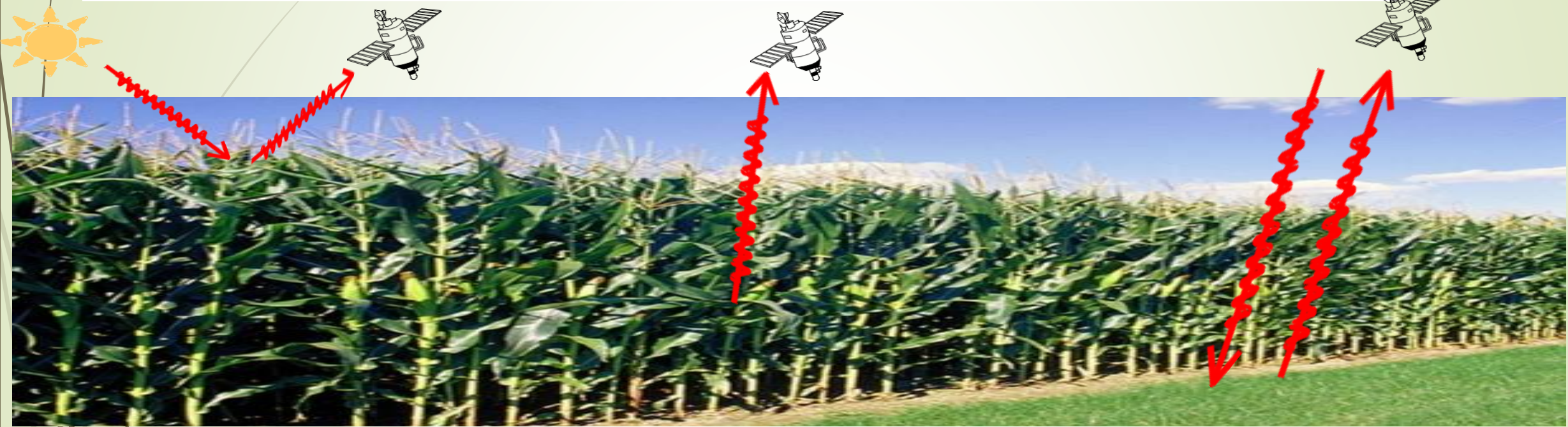
Téledétection spatiale pour l'observation des surfaces terrestres

Visible

Infra-rouge thermique

Hyperfréquences

10^{-9} m 10^{-6} m 10^{-2} m Longueur d'onde



Radiomètres optique (Réflectance)

- Surface foliaire
- Surfaces enneigées
- Dynamique temporelle → occupation du sol

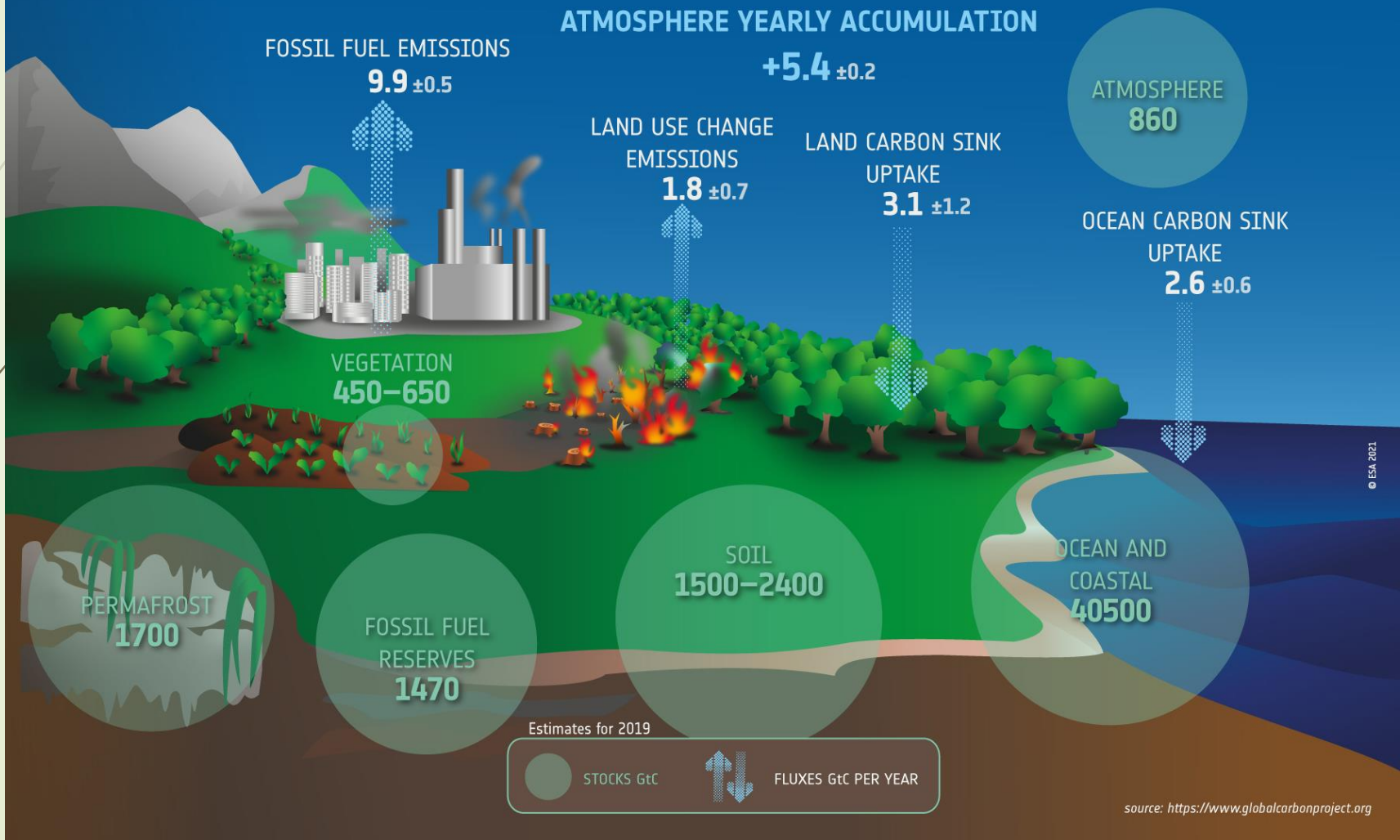
Radiomètres thermique (Température de brillance)

- Température de surface → Evapotranspiration
- Température sommet nuage

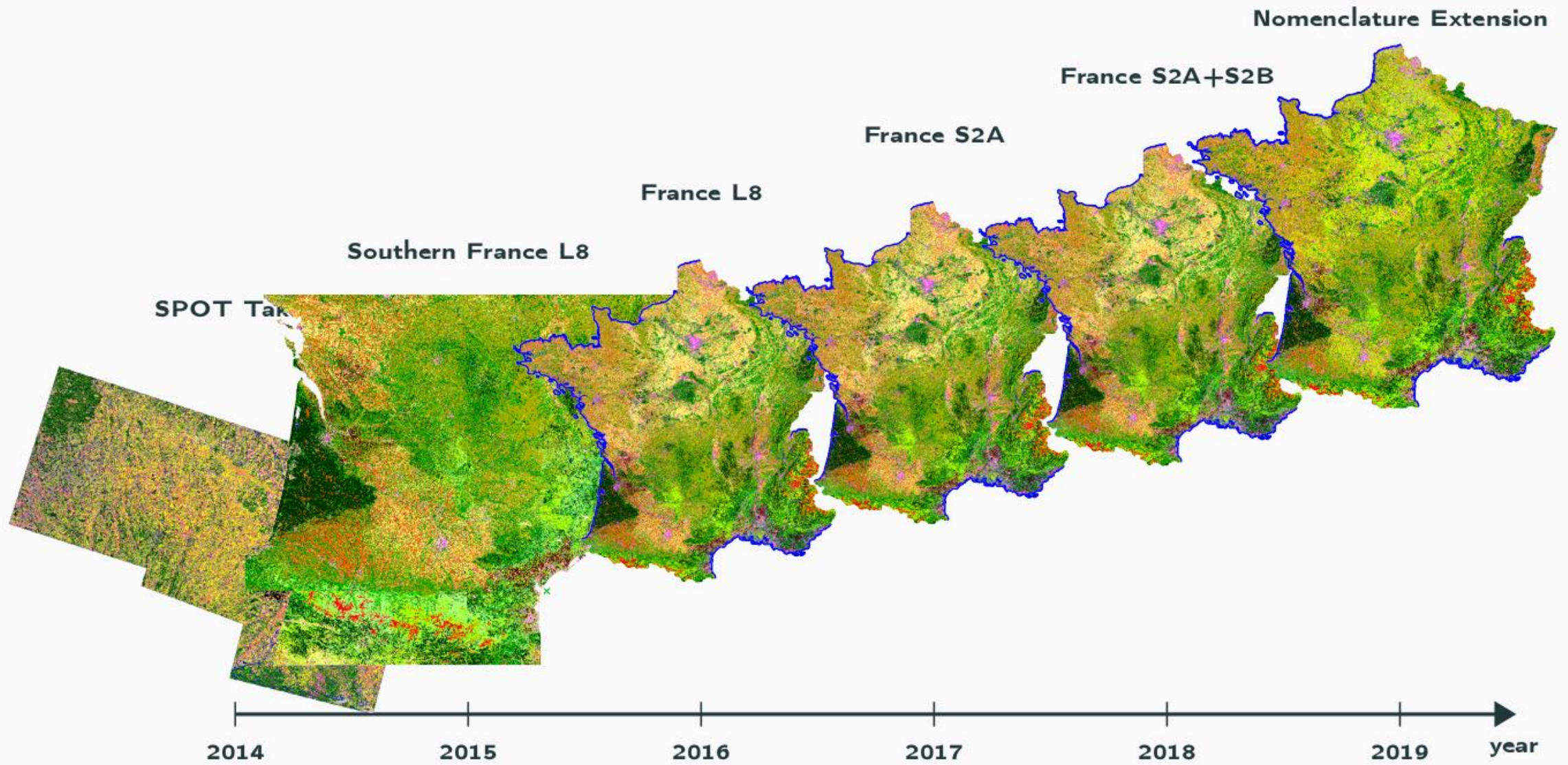
Radiomètre micro-onde ou radar (Coefficient de rétrodiffusion)

- Humidité du sol
- Contenu en eau liquide du manteau neigeux
- Hauteur d'eau libre

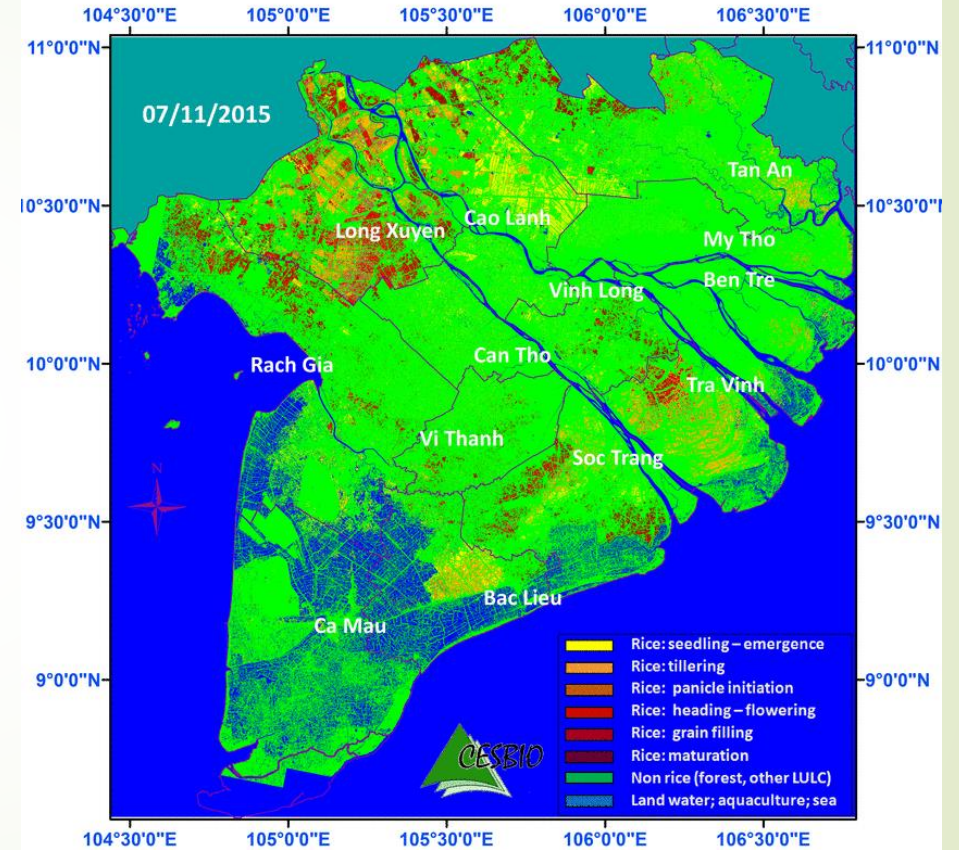
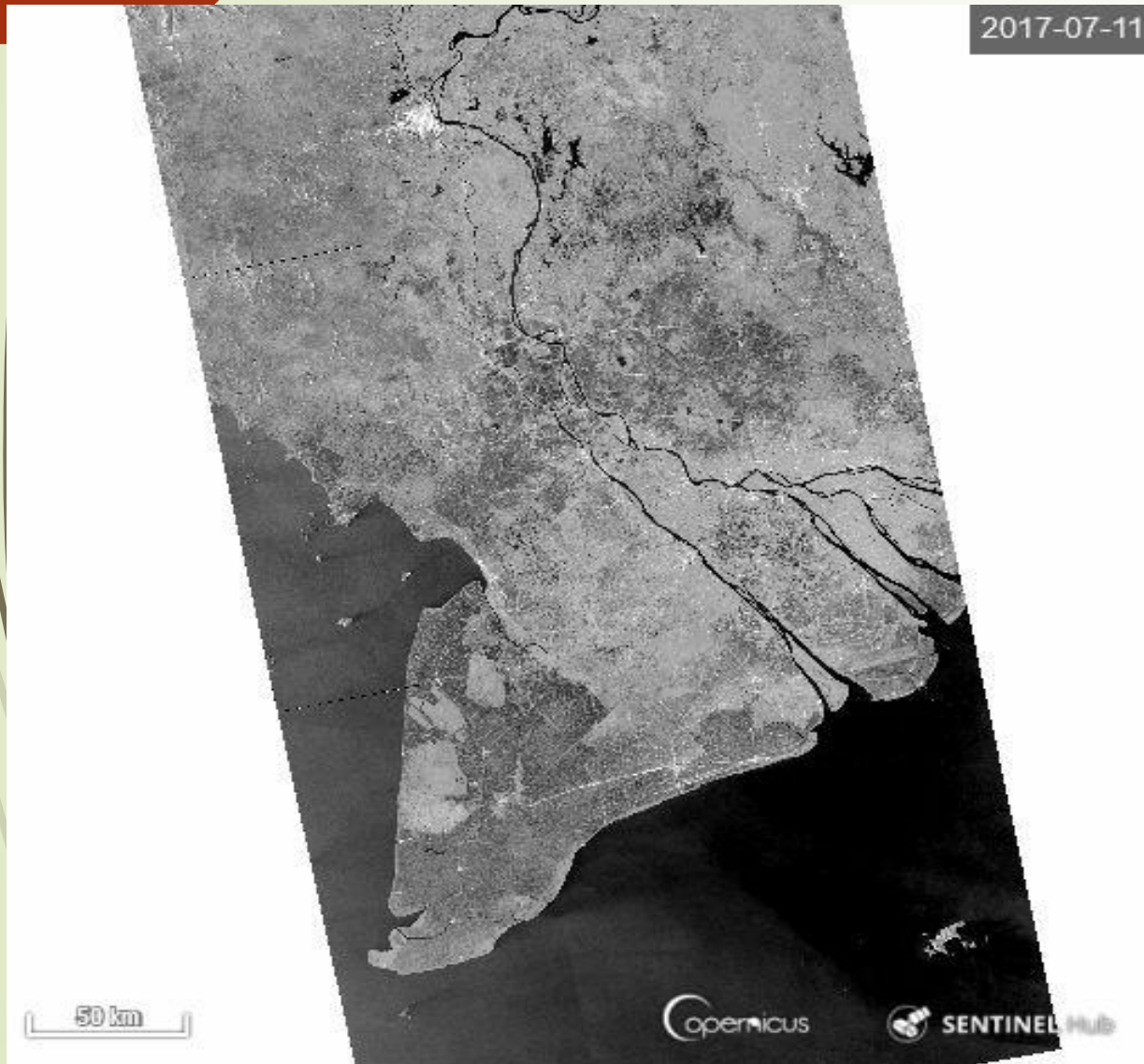
GLOBAL CARBON BUDGET



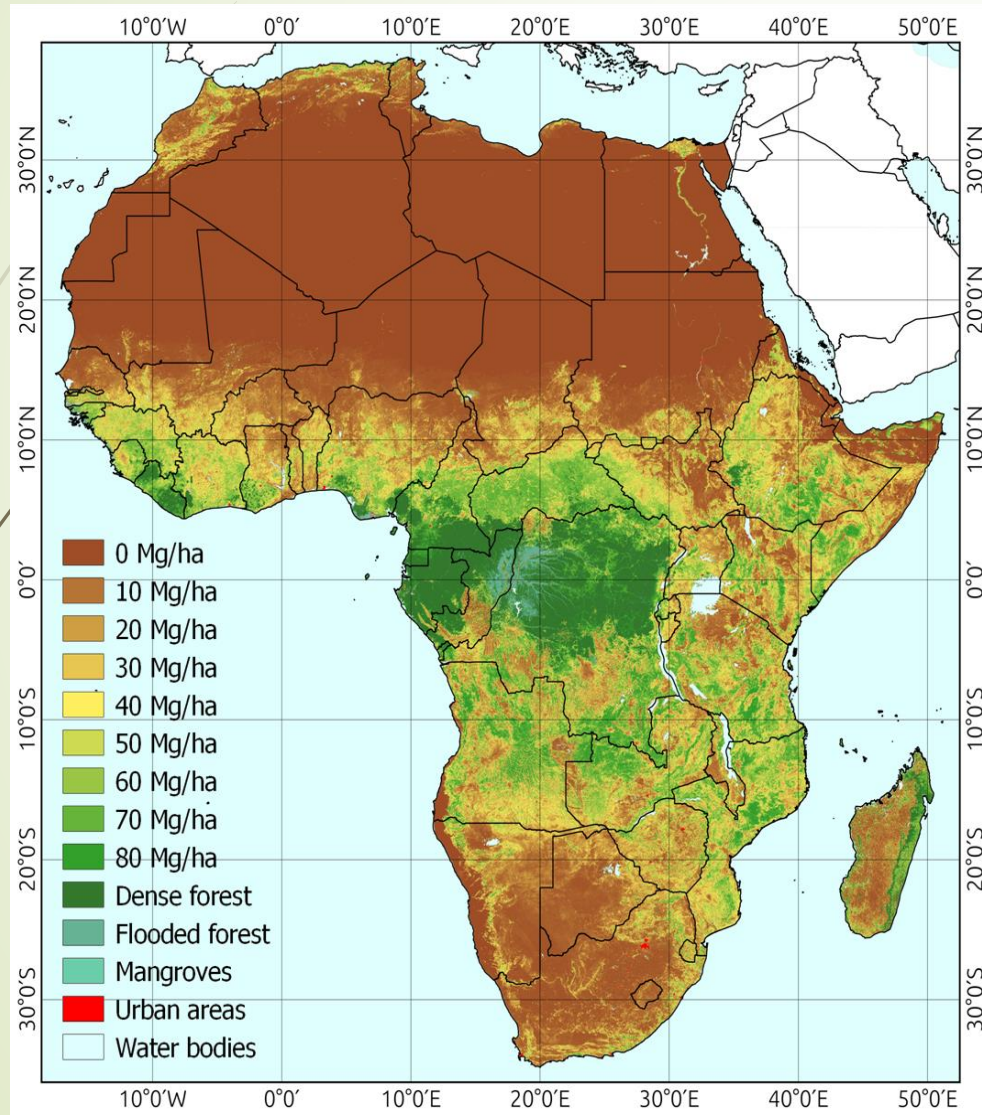
Land use mapping



Rice monitoring



Biomass mapping of woodlands and savannahs



Contents lists available at ScienceDirect

Remote Sensing of Environment

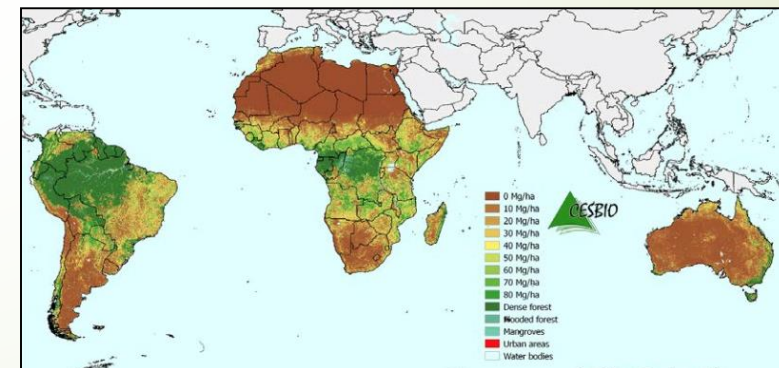
ELSEVIER

journal homepage: www.elsevier.com/locate/rse

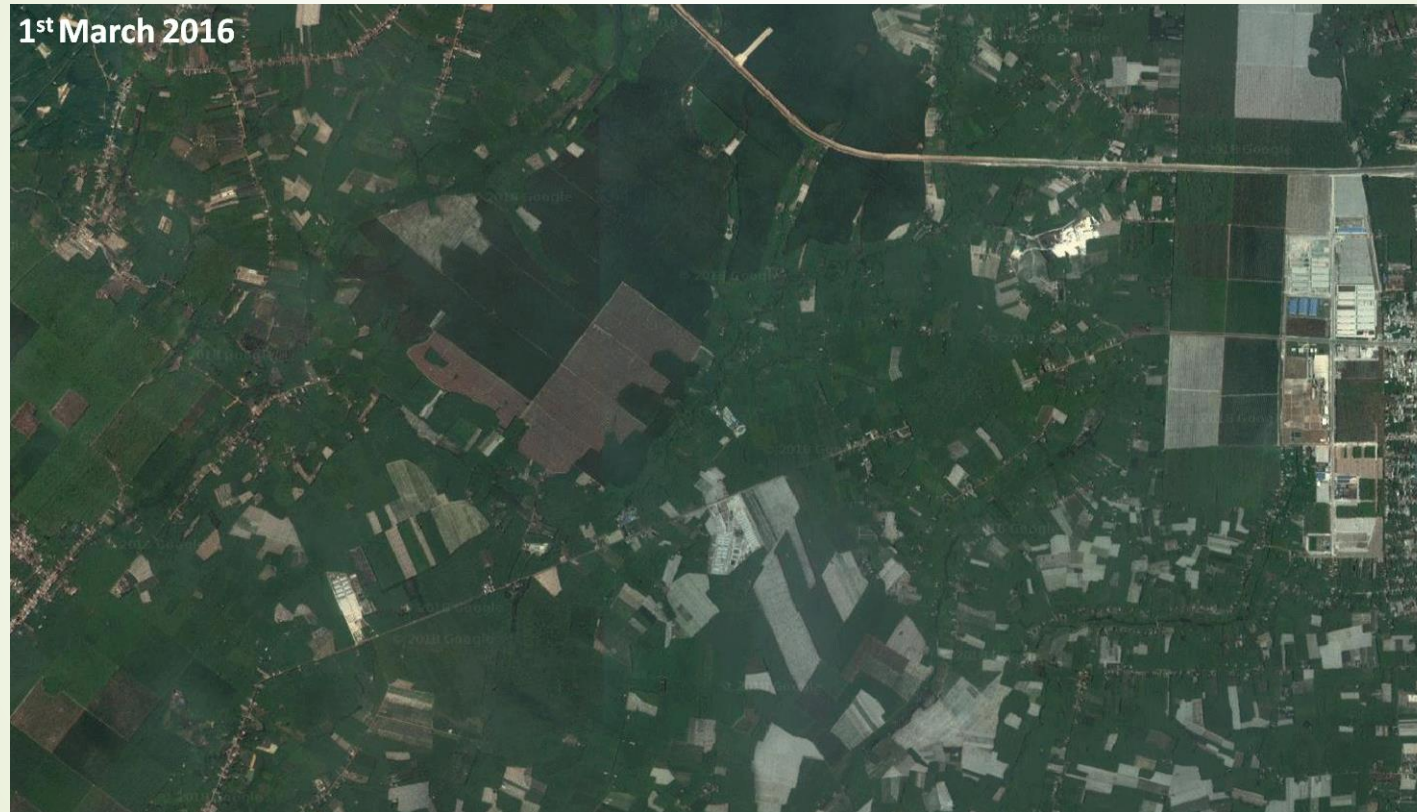
An above-ground biomass map of African savannahs and woodlands at 25 m resolution derived from ALOS PALSAR

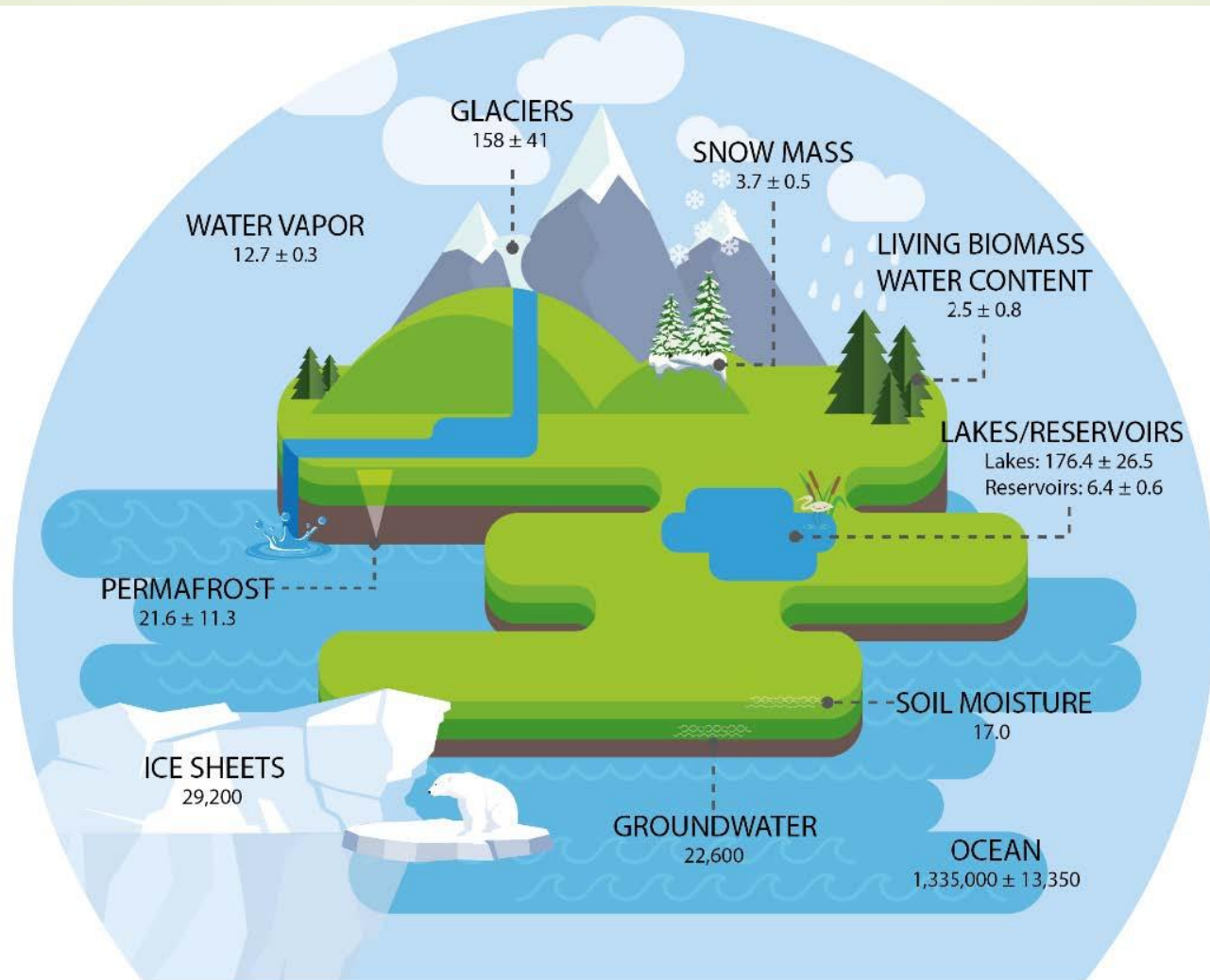
Alexandre Bouvet^{a,*}, Stéphane Mermoz^a, Thuy Le Toan^a, Ludovic Villard^a, Renaud Mathieu^b, Laven Naidoo^b, Gregory P. Asner^c

^a CESBIO, Université de Toulouse, CNRS/CNRS/IRD/UPS, Toulouse, France
^b Ecosystems Earth Observation, Natural Resource and the Environment, CSIR, Pretoria, South Africa
^c Department of Global Ecology, Carnegie Institution for Science, Stanford, CA, USA



Deforestation mapping





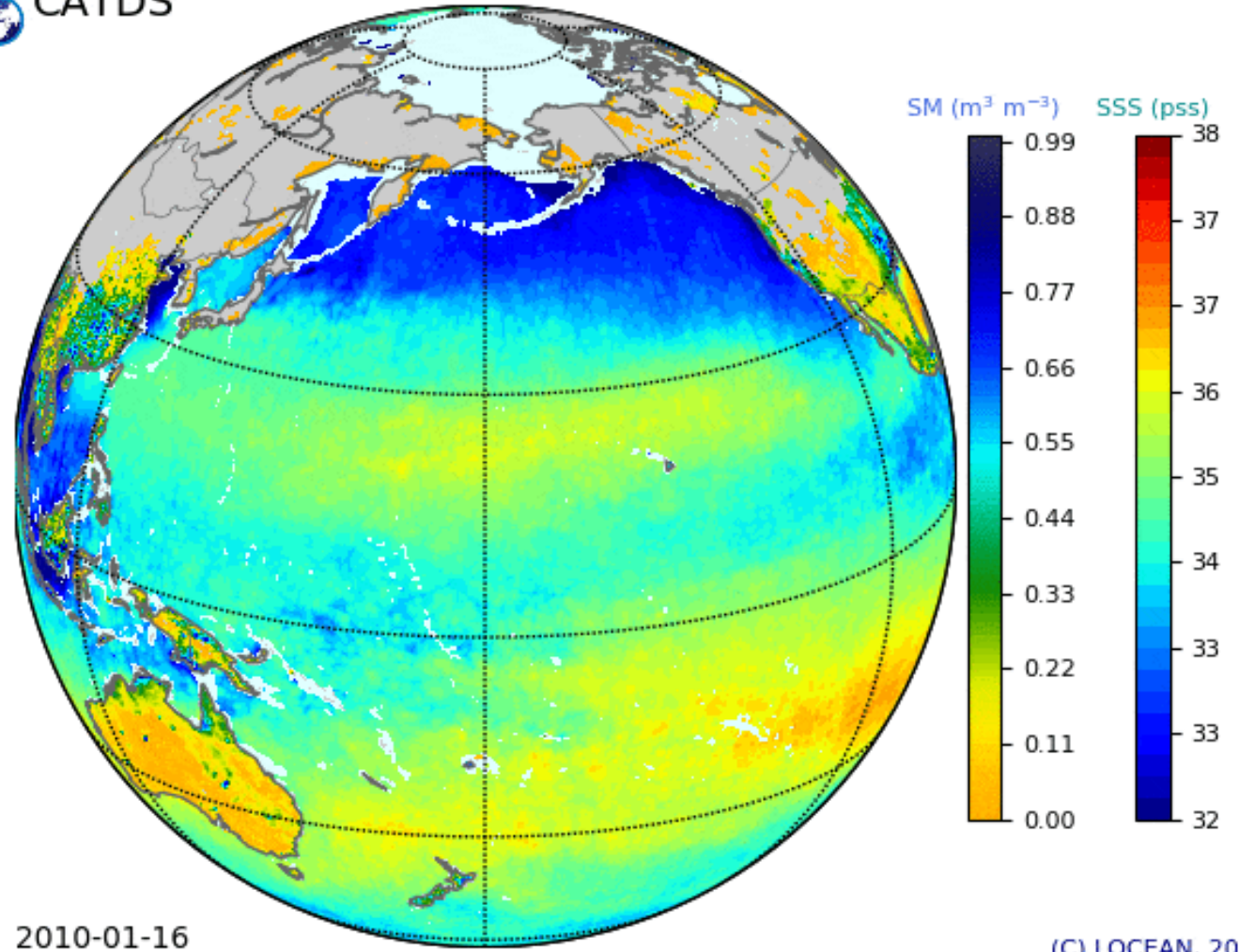
GLOBAL WATER STORAGES



SMOS, © ESA



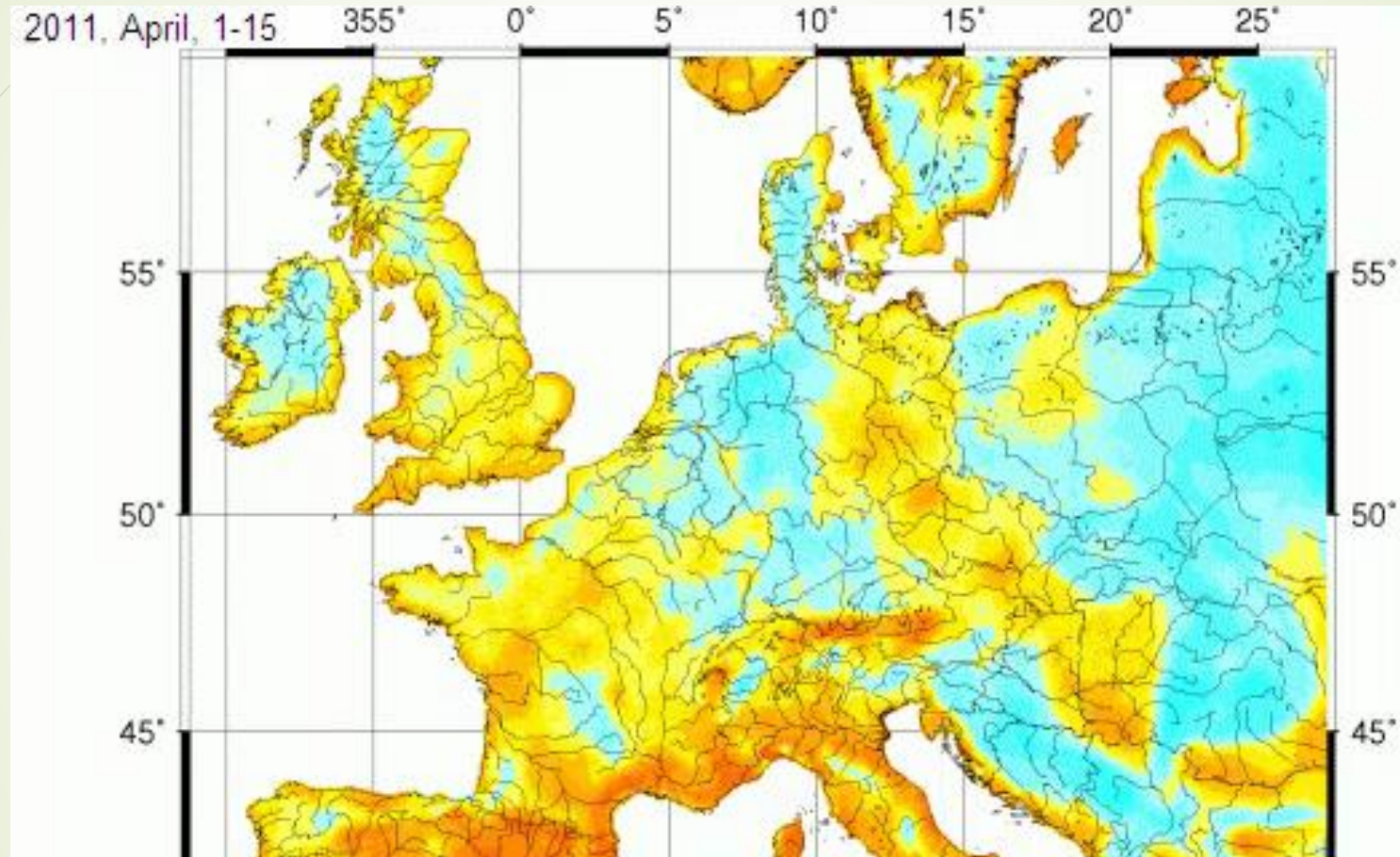
SMOS SSS CEC LOCEAN/ACRI-st Debiased v3, 18-day / SM CPDC MIR_CLF33A



2010-01-16

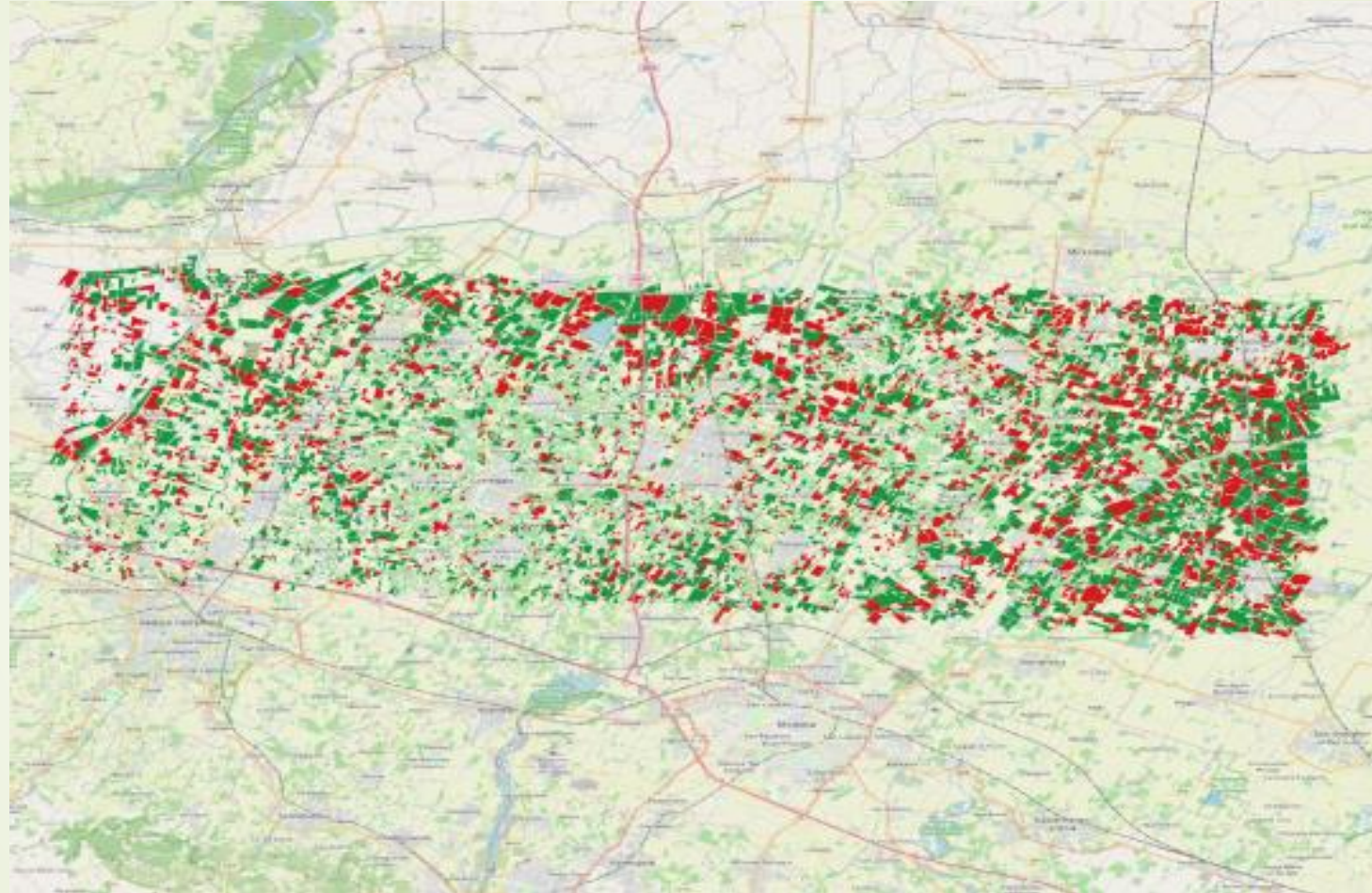
(C) LOCEAN, 2018

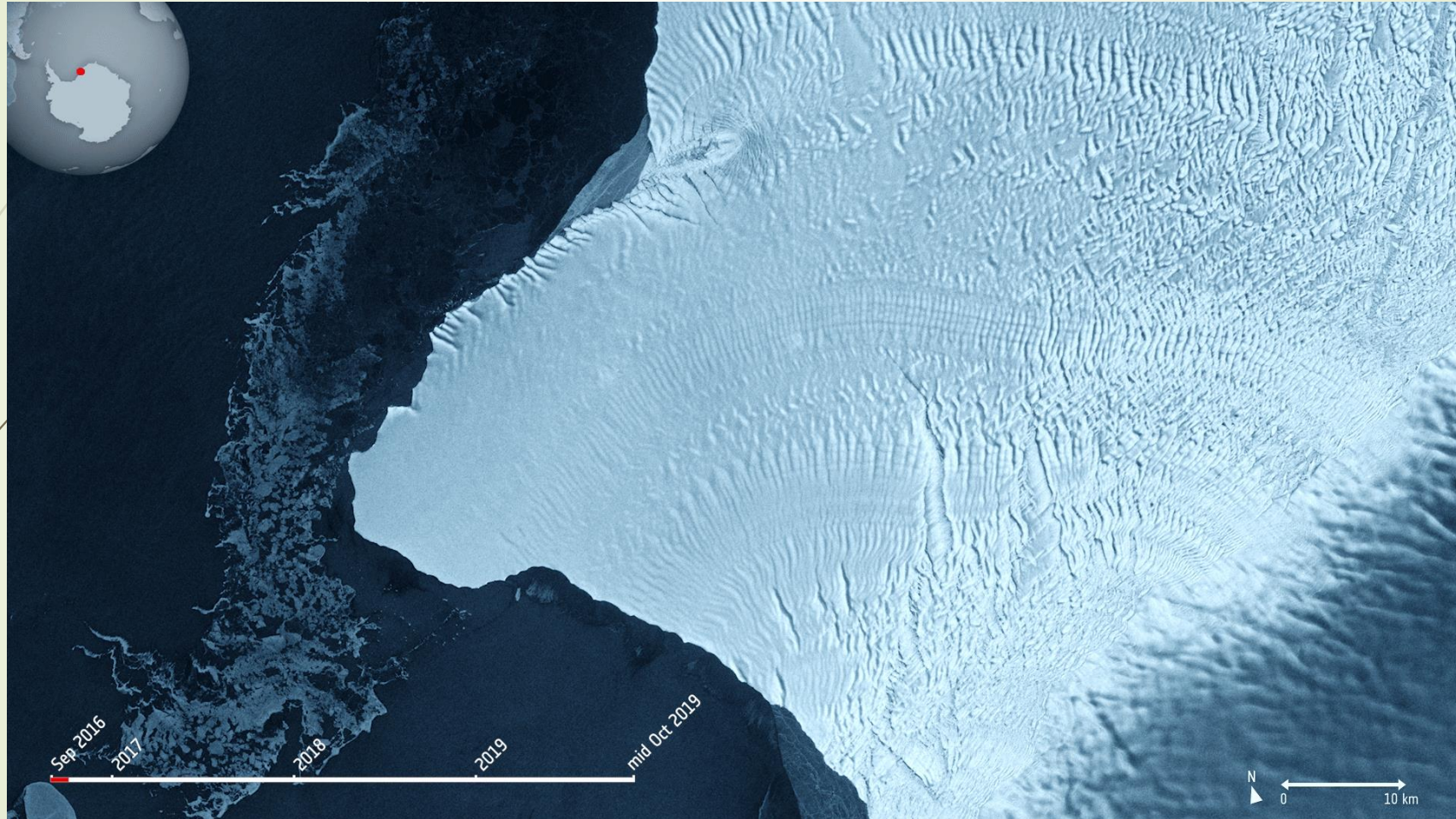
Soil moisture mapping



Humidité du sol en Europe, ASCAT/METOP

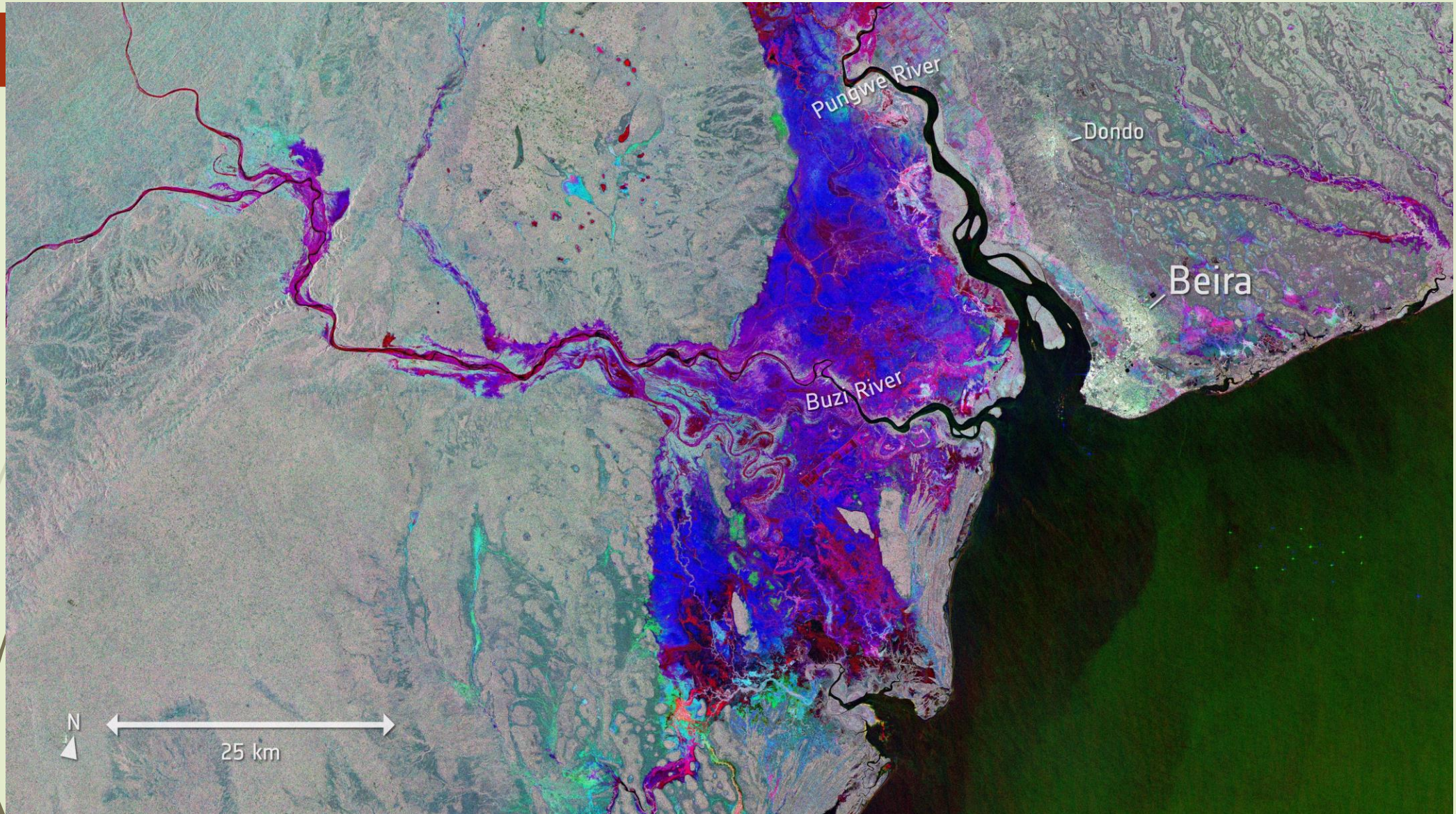
Irrigated areas mapping



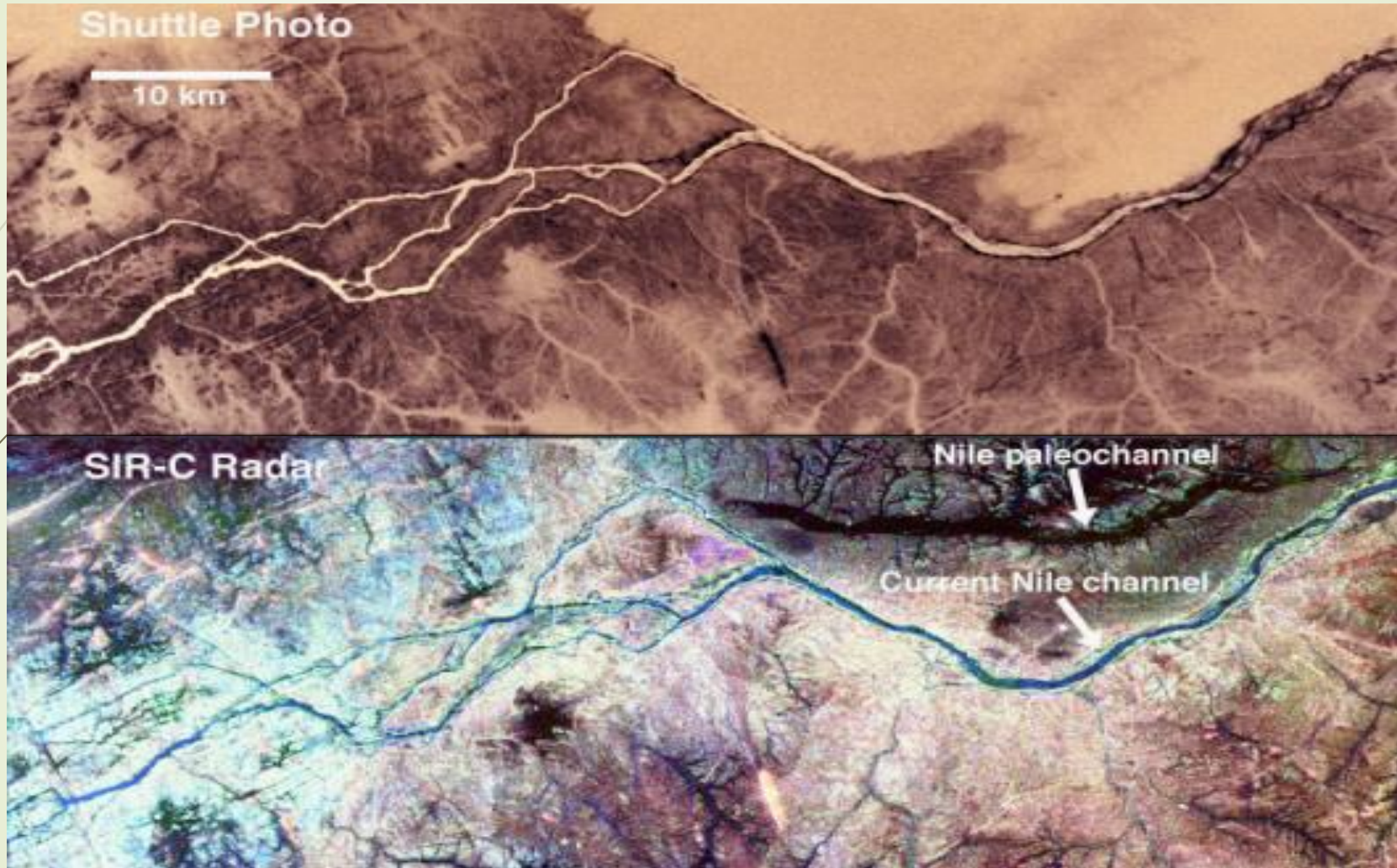


Halloween crack, Sentinel-1, © ESA

Floods, Sentinel-1,

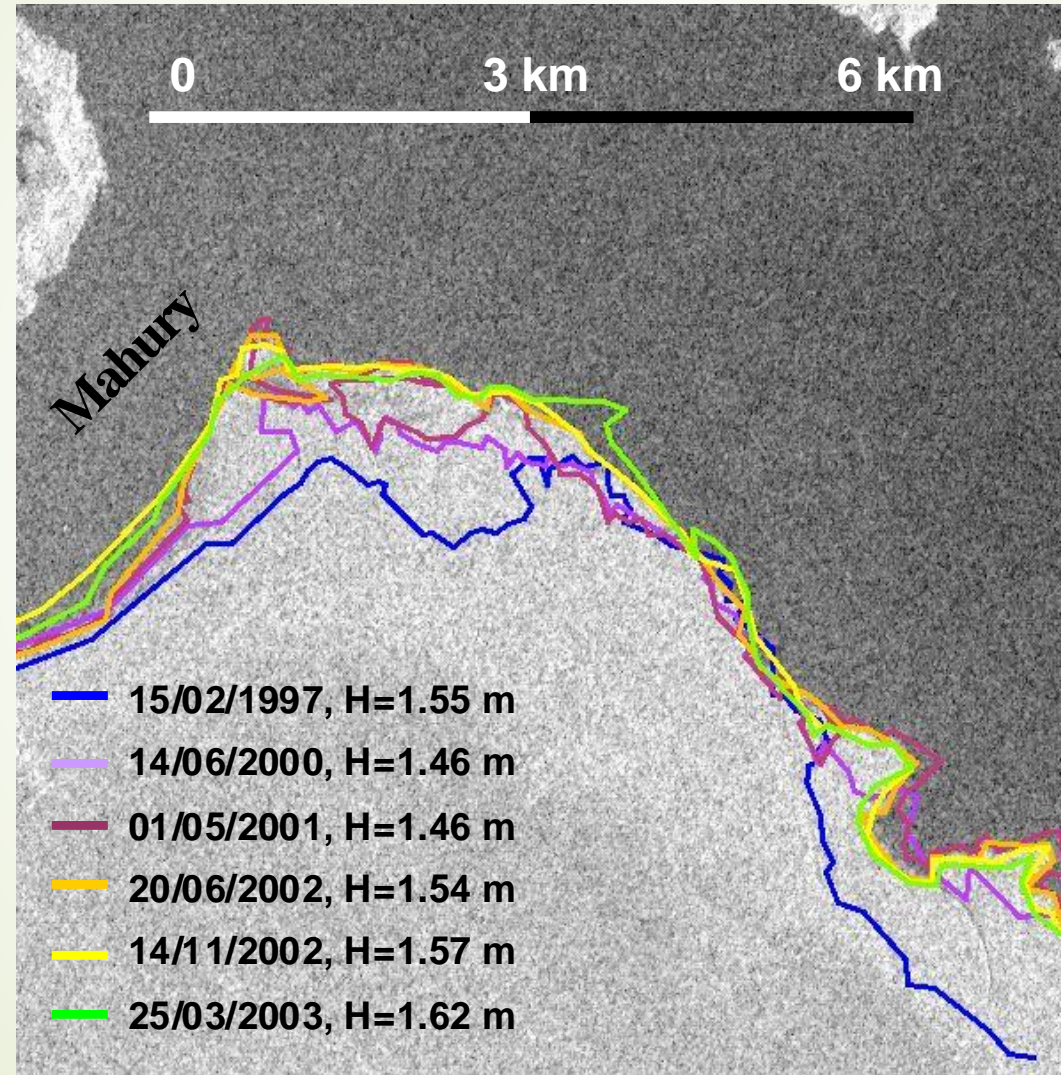


Subsurface mapping

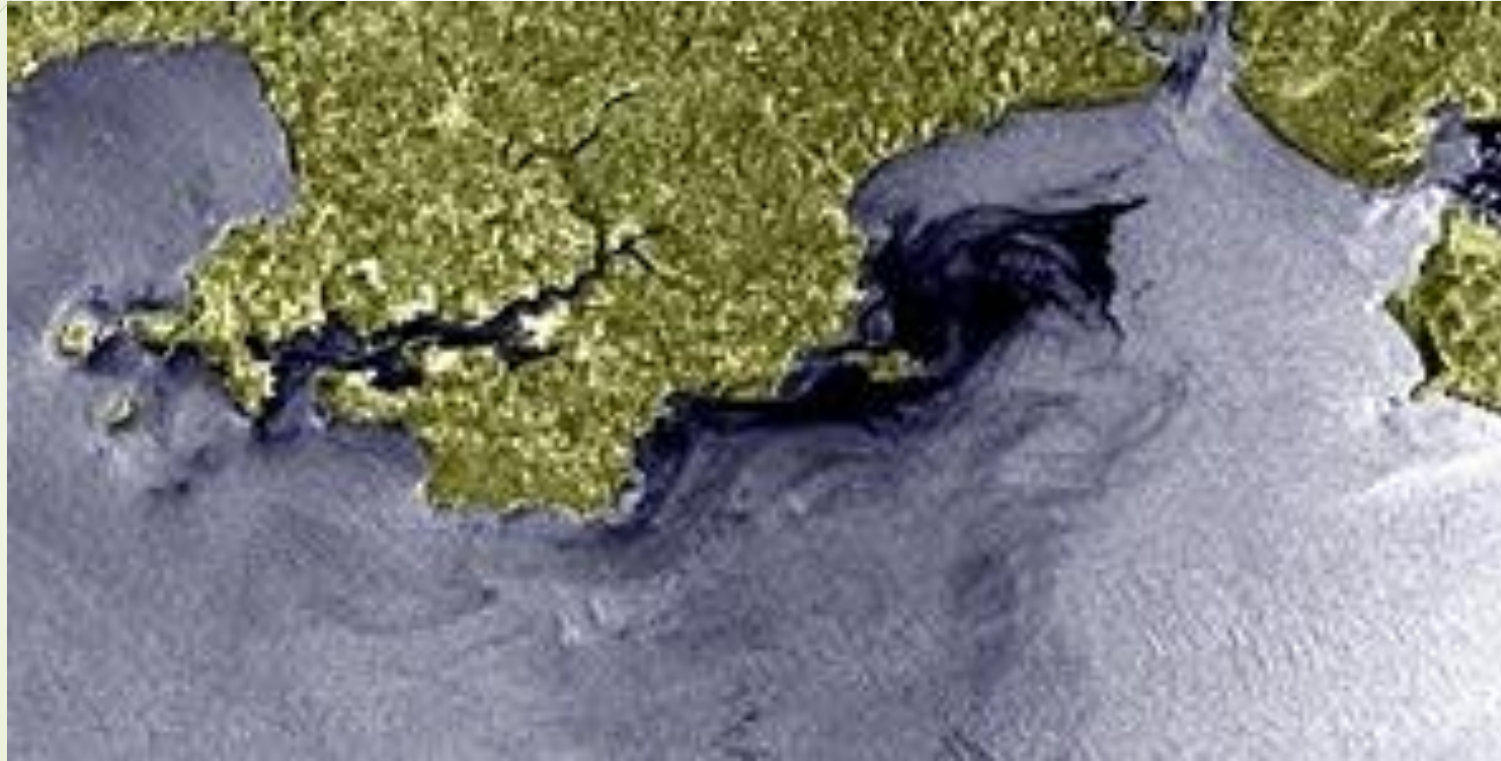


Sahara, SIR-C, © NASA

Costal area monitoring

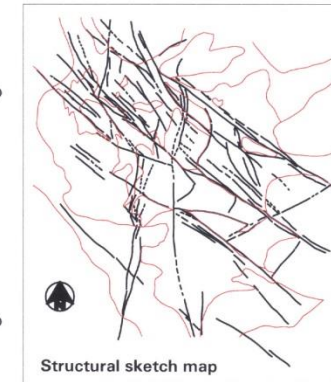
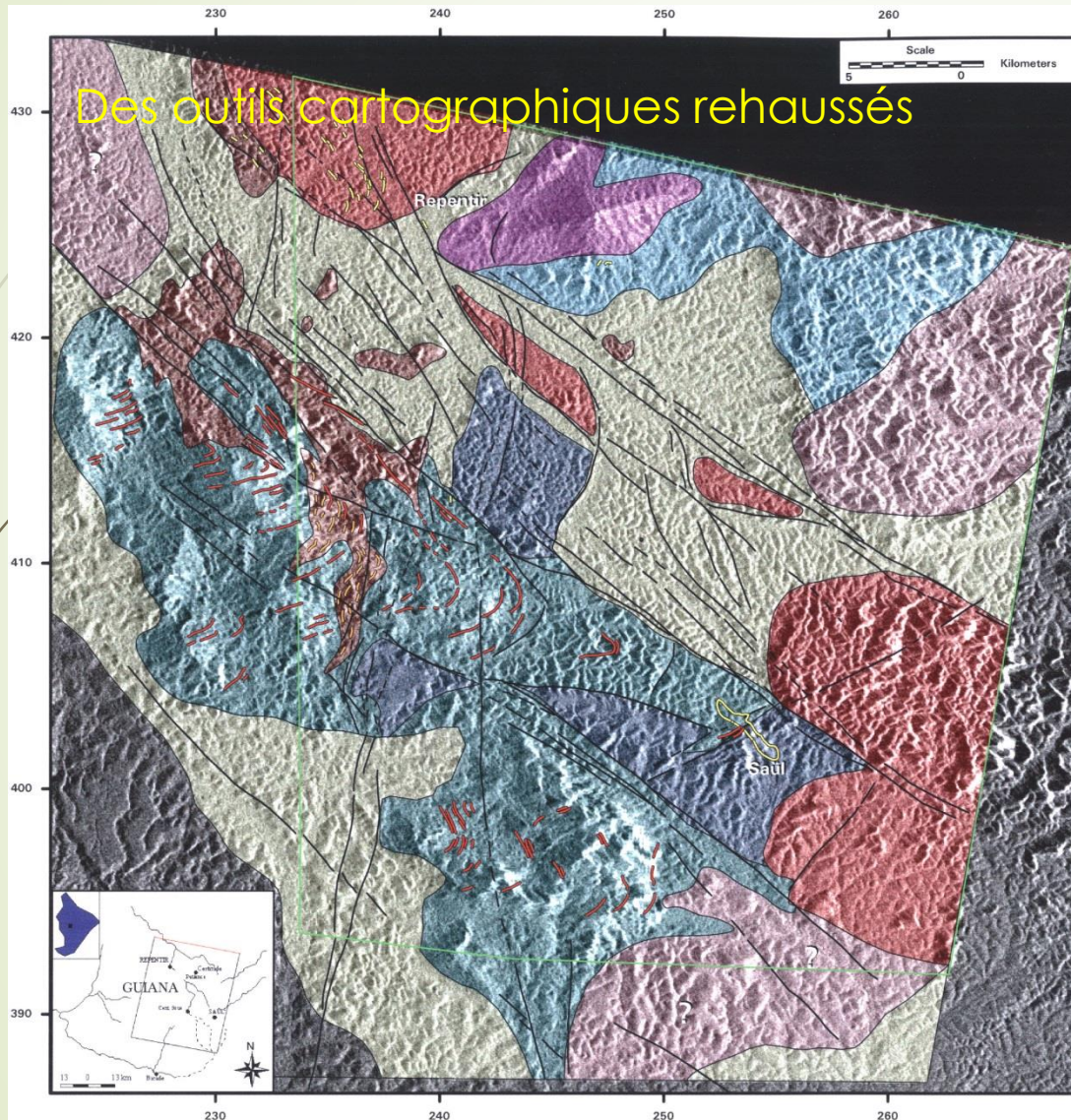


Pollution detection



Geological mapping

Des outils cartographiques rehaussés



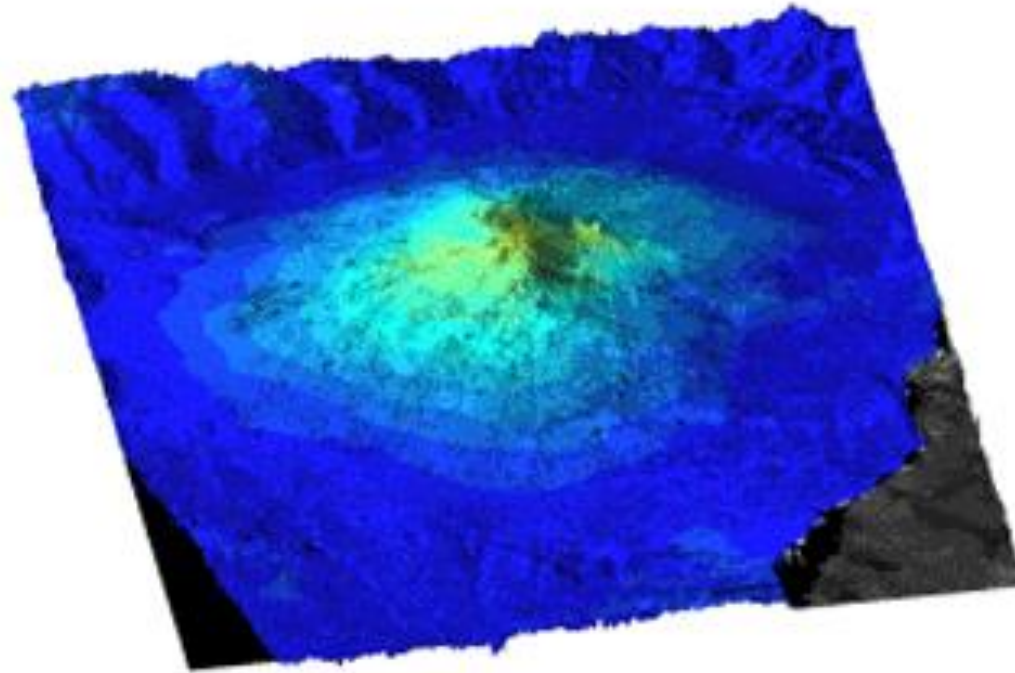
PROJECTION : UTM WGS84
 SOURCES :
 Altimétrie Ministère de l'Industrie,
 de la Poste et des
 Télécommunications
 Images SAR ERS 1
 copyright ESA 1991
 geological map BRGM/DR
 PROCESSING :
 BRGM Direction de la Recherche

Legend

- Late Granites
- Indifferenciated Granitoïds
- Rhyolites
- Paramaca (poorly outcropping area)
- Paramaca
- Ultramafic rocks (Montagne Continent)
- Gabbros and Amphibolites
- Gabbros and Ultramafic rocks (Saül)
- Radar discontinuities
- Rhyolites bars
- SO-1 layers
- Auriferous quartz veins
- Boundary of gold anomalie
- Radarsat image boundary

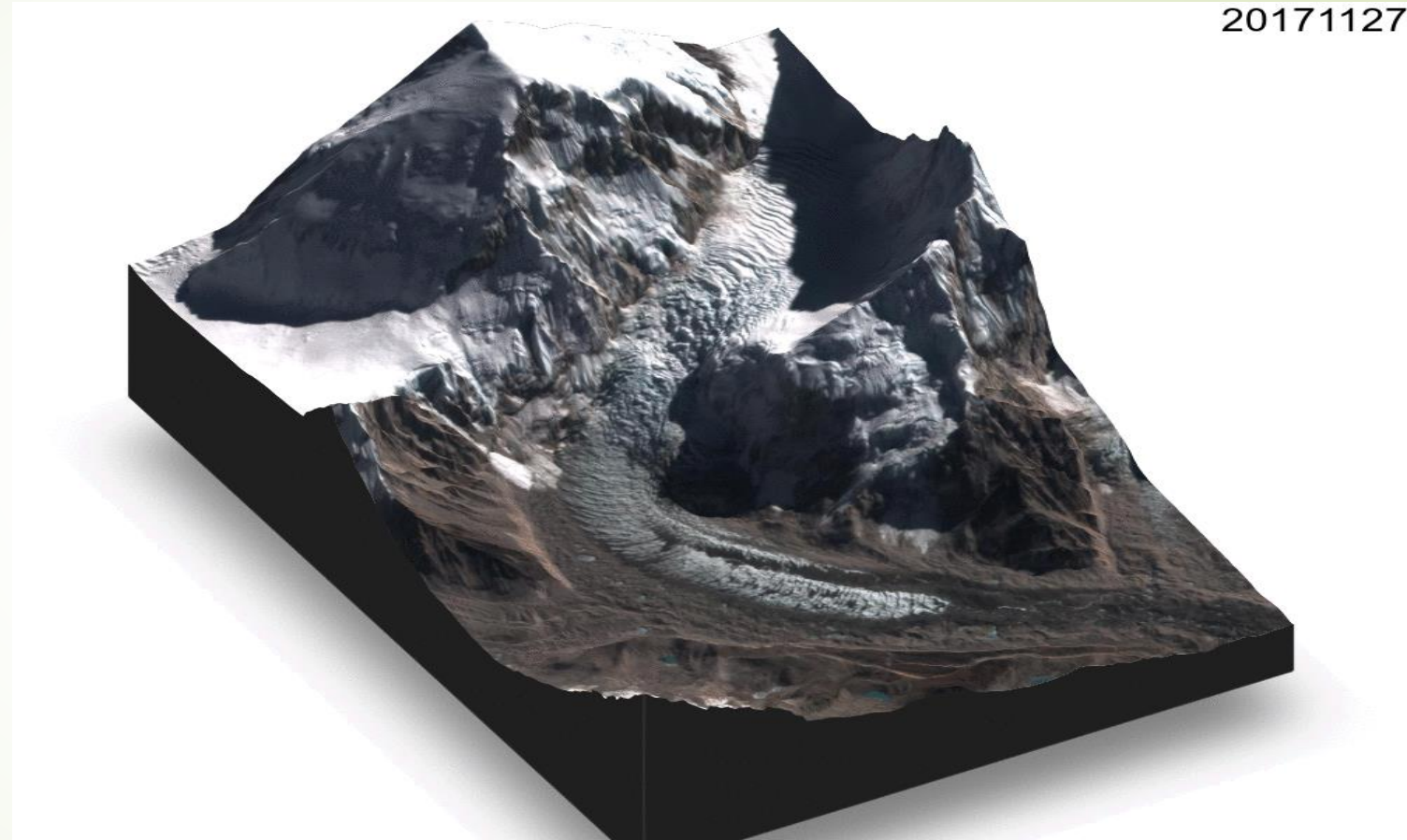
Geological interprétation of radar imagery
 (French - Guiana)

Volcano



Etna, Sentinel-2 et ERS, © ESA

20171127



Thank you for
your attention

Glacier Khumbu, Himalaya, **Venus**
Animation: Simon Gascoin